

УДК 542.952+541.64

ХИМИЯ

А. Х. БАГДАСАРЬЯН, академик Б. А. ДОЛГОПЛОСК, В. М. ФРОЛОВ

**ЭЛЕКТРОПРОВОДНОСТЬ ЛИТИЙОРГАНИЧЕСКИХ СОЕДИНЕНИЙ  
В СРЕДЕ ТЕТРАГИДРОФУРАНА**

Ранее<sup>(1)</sup> нами было показано, что диссоциация полибутадиениллития на свободные ионы в среде гексаметилфосфортиамида (ГМФТА) весьма значительна ( $K_{дис} = 5,14 \cdot 10^{-4}$  моль/л). При переходе к полизопренилу и к поли-2,3-диметильтбутадиениллитию  $K_{дис}$  уменьшается очень мало. Это свидетельствует, по-видимому, о том, что энергия сольватации противоиона молекулами ГМФТА значительно превышает эффект стабилизации соответствующего аниона. Поэтому применение гораздо более слабого сольва-

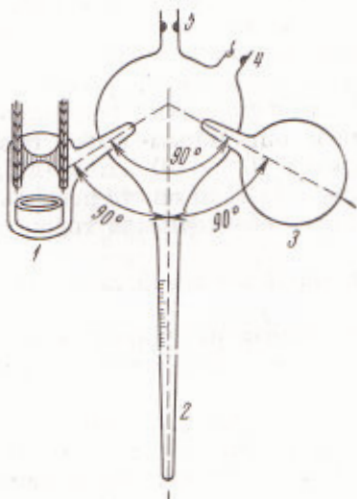


Рис. 1

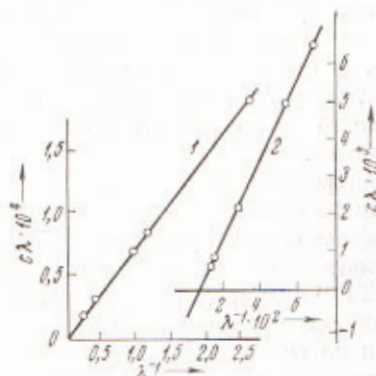


Рис. 2

Рис. 1. Прибор для измерения электропроводности. 1 — кондуктометрическая ячейка, 2 — мерник, 3 — вспомогательная емкость, 4 — отвод для введения раствора *n*-бутиллития, 5 — соединение с вакуумно-аргонной линией

Рис. 2. Электропроводность полибутадиениллития (1) и инденyllития (2) в ТГФ при 22°

тирующего растворителя, например тетрагидрофурана (ТГФ), может дать большую информацию об относительной стабильности анионов, образующихся при диссоциации ионных пар. Значения констант диссоциации в этом растворителе при прочих равных условиях будут определяться в основном стабильностью образующихся анионов.

В настоящей работе нами была измерена электропроводность некоторых полимерлитиевых соединений в среде ТГФ, а также электропроводность продуктов металлизации *n*-бутиллитием соединений, неспособных к полимеризации в этих условиях.

Электропроводность в среде ТГФ измерялась в приборе, изображенном на рис. 1. Исследуемые растворы полимеров готовились непосредственно в этом приборе.

При помощи отвода 5 (рис. 1) прибор присоединялся к вакуумной линии и после тщательной тренировки в высоком вакууме ( $\sim 10^{-5}$  мм рт. ст.) заполнялся сухим и чистым аргоном. Через отвод 4 в прибор вводилось отмеренное количество (2—2,5 мл) 0,6 M раствора *n*-бутиллития в гексане. Отвод 4 отпаявался, и аргон вместе с гексаном удалялся в вакууме. Затем в приборе конденсировалось несколько миллиметров ТГФ и рассчитанное количество мономера ( $[M] / [n\text{-BuLi}] = 10 - 15$ ). После того как в системе не оставалось свободного бутиллития (3—5 мин.), в прибор вводилось остальное количество ТГФ, и отвод 5 отпаявался. Все дальнейшие операции проводились в цельнопаянной системе без шлифов и смазки.

Внутренние стенки всего прибора промывались исходным концентрированным раствором RLi для удаления последних следов влаги и реактивных примесей. Остающийся на стенках раствор смывался чистым растворителем, который конденсировался из емкости 3 последовательно на все участки внутренней поверхности прибора. Предварительными опытами было показано, что при такой обработке дезактивируется не более  $10^{-7}$  моля RLi, что составляет около  $10^{-3}\%$  от исходного количества литийорганического соединения.

Объем исходного раствора измерялся в мернике 2, и начальная концентрация живых полимерных цепей определялась расчетным путем. Затем большая часть исходного раствора переводилась в емкость 3 так, чтобы в мернике оставалась  $\sim \frac{1}{5}$  часть. Объем оставшегося в мернике раствора измерялся с точностью 1 %. Разбавление осуществлялось в мернике путем конденсации чистого растворителя из емкости 3; рассчитывалась концентрация разбавленного раствора. После измерения электропроводности в ячейке 1 раствор снова разбавлялся описанным выше способом, вплоть до достижения концентраций порядка  $10^{-5} - 10^{-6}$  моль·л<sup>-1</sup>. Применявшаяся методика разбавления позволяла в одном опыте несколько раз исследовать широкую область концентраций и обеспечивала хорошую воспроизводимость.

Электропроводность измерялась при помощи мостовой схемы переменного тока, описанной ранее (2).

Результаты, полученные при изучении концентрационной зависимости электропроводности различных полимерных литийорганических соединений в ТГФ при 22°, представлены в табл. 1.

Полученные данные были использованы для расчета констант диссоциации на свободные ионы полимерных литийорганических соединений.

Если  $c$  — концентрация ионных пар, а  $\alpha$  — степень диссоциации, то  $K_{\text{дис}} = ca^2 / (1 - \alpha)$ . Поскольку  $\alpha = \lambda / \lambda_0$ , где  $\lambda$  и  $\lambda_0$  — эквивалентные электропроводности при данной концентрации и при бесконечном разбавлении, получим после подстановки и преобразований выражение:

$$c\lambda = -K_{\text{дис}}\lambda_0 + K_{\text{дис}}\lambda_0^2/\lambda,$$

которое представляет собой уравнение прямой в координатах  $c\lambda$  и  $\lambda^{-1}$ . Наклон этой прямой равен  $K_{\text{дис}}\lambda_0^2$ , а отрезок, отсекаемый на оси ординат, равен  $-K_{\text{дис}}\lambda_0$ .

На рис. 2 представлена типичная зависимость  $c\lambda$  от  $\lambda^{-1}$  для полибутидиениллития. Аналогичные зависимости были получены для живых цепей других мономеров. Из наклонов полученных прямых определялась величина  $K_{\text{дис}}\lambda_0^2$ . Отрезки, отсекаемые на оси ординат, во всех случаях очень малы и не могут быть измерены. Поэтому для расчета  $K_{\text{дис}}$  для всех живых цепей использовалось значение  $\lambda_0$ , полученное другим методом Байуотером (3) в аналогичных условиях для полистириллития ( $50 \text{ см}^2 \cdot \text{ом}^{-1} \cdot \text{г} \cdot \text{экв}^{-1}$ ), поскольку подвижности полимерных анионов с близкими молекулярными весами должны быть одинаковыми. Константы диссоциации полимерных литийорганических соединений, полученные таким путем, приведены в табл. 3.

Таблица 1

Удельная ( $\kappa$ ) и эквивалентная ( $\lambda$ ) электропроводность живых полимерных цепей (ТГФ, 22°)

$c \cdot 10^6$ , моль·л <sup>-1</sup>	$\kappa \cdot 10^8$ , см <sup>-1</sup> ·ом <sup>-1</sup>	$\lambda$ , см <sup>2</sup> ·ом <sup>-1</sup> · г·окт <sup>-1</sup>
<b>Полициклогексадиен</b>		
740	7,70	0,104
361	5,24	0,145
85,3	2,62	0,308
21,7	1,34	0,618
6,3	0,71	1,126
<b>Полибутадиен</b>		
487	19,1	0,391
102	8,71	0,854
67,4	7,14	1,06
13,0	3,14	2,41
4,7	1,88	4,01
<b>Поли-<math>\alpha</math>-метилстирол</b>		
323	25,2	0,78
94,1	13,6	1,45
45,2	9,48	2,10
16,2	5,80	3,58
3,22	2,36	7,34
<b>Полистирол</b>		
452	61,5	1,36
111	30,6	2,76
64,5	23,2	3,60
12,2	9,54	7,82
3,72	4,95	13,3

Таблица 2

Удельная ( $\kappa$ ) и эквивалентная ( $\lambda$ ) электропроводность низкомолекулярных литийорганических соединений (ТГФ, 22°)

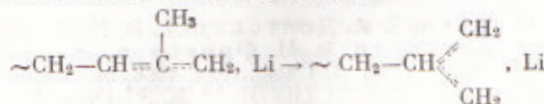
$c \cdot 10^6$ , моль·л <sup>-1</sup>	$\kappa \cdot 10^7$ , см <sup>-1</sup> ·ом <sup>-1</sup>	$\lambda$ , см <sup>2</sup> ·ом <sup>-1</sup> · г·окт <sup>-1</sup>
<b>Циклопентадиениллитий</b>		
574	15,1	2,63
181	8,78	4,85
71,2	5,70	8,01
23,2	3,32	14,3
8,95	2,01	22,5
3,46	1,18	34,1
<b>Индениллитий</b>		
428	65,1	15,2
245	49,0	20,0
58,8	20,9	35,6
41,2	7,02	62,7
6,25	4,89	78,4
<b>Аценафтилениллитий</b>		
903	108	12,0
330	62,8	19,0
86,2	29,2	33,9
21,3	12,2	57,3
4,15	3,40	82,0

Таблица 3

Константы диссоциации литийорганических соединений

Соединение	$K_{\text{дис}}$ , моль·л <sup>-1</sup>	$k_{21}$ , л·моль <sup>-1</sup> · сек <sup>-1</sup>
Поли-2,3-диметилбутадиениллитий	$\sim 10^{-12}$	0,48 (5)
Полизопрениллитий	$8 \cdot 10^{-10}$	17,0 (5)
Полициклогексадиениллитий	$3,2 \cdot 10^{-9}$	—
Полибутадиениллитий	$3,0 \cdot 10^{-8}$	32,7 (5)
Поли- $\alpha$ -метилстиролиллитий	$8,3 \cdot 10^{-8}$	27,0 (6)
Полистиролиллитий	$3,5 \cdot 10^{-7}$	950 (6)
Циклопентадиениллитий	$4,7 \cdot 10^{-7}$	—
Индениллитий	$9,9 \cdot 10^{-6}$	—
Аценафтилениллитий	$1,4 \cdot 10^{-5}$	—

При изучении полизопрениллития было обнаружено, что электропроводность этого соединения довольно быстро растет со временем. Байутер, впервые наблюдавший это явление (4), объясняет его изомеризацией конца цепи в более стабильный анион по схеме:



Поэтому  $K_{\text{дис}}$  для полизопрениллития рассчитывалась по данным для одной концентрации по формуле:  $K_{\text{дис}} \approx c(\lambda / \lambda_0)^2$ , что дает, однако, менее точные результаты.

Не удалось найти величины  $K_{\text{дис}}$  для поли-2,3-диметилбутадиениллития, так как уже при концентрации живых цепей порядка  $10^{-3}$  моль·л<sup>-1</sup>

удельная электропроводность ( $\kappa$ ) в этой системе составляет величину  $\sim 10^{-10}$  см $^{-1}$ ·ом $^{-1}$ , определяемую со значительной ошибкой. Оценка  $K_{\text{дис}}$  в этом случае дает значение порядка  $10^{-12}$  моль·л $^{-1}$ .

Нами была измерена также электропроводность низкомолекулярных продуктов металлизации циклопентадиена, индена и аценафтилена *n*-бутиллитием. Металлизование проводилось в приборе для измерения электропроводности путем обработки растворов этих соединений в гексане известным количеством *n*-бутиллита. После образования нерастворимых в гексане продуктов металлизации гексан удалялся в вакууме, и в прибор конденсировался ТГФ. В табл. 2 представлены полученные данные.

Типичная зависимость  $\kappa$  от  $\lambda^{-1}$  для индениллита приведена на рис. 2. Рассчитанные значения  $K_{\text{дис}}$  для трех низкомолекулярных литийорганических соединений даны в табл. 3. Величина  $\lambda_0$  для этих соединений из экспериментальных данных была определена  $105 \pm 5$  см $^2$ ·ом $^{-1}$ ·г·экв $^{-1}$ .

Значения  $K_{\text{дис}}$  могут служить мерой относительной стабильности образующихся при диссоциации анионов. Сравнение данных табл. 3 приводит к следующим выводам: 1) заместители электронодонорного характера, например метильная группа, уменьшают величину  $K_{\text{дис}}$  и стабильность аниона. Это отчетливо проявляется в ряду диенов и при сравнении стирола и  $\alpha$ -метилстирола; 2) сопряжение с фенильным ядром в большей степени стабилизирует анион, чем сопряжение с двойной связью (например, стирол и бутадиен).

В исследованном ряду литийорганических соединений  $K_{\text{дис}}$  изменяется в зависимости от природы органической компоненты на семь порядков. Это связано со значительным увеличением полярности связи C—Li в рассмотренном ряду при переходе от поли-2,3-диметилбутадиениллита к аценафтениллита, что должно привести также к изменению строения ионных пар. Можно предположить, что первые члены этого ряда (до циклопентадиениллита включительно) образуют только контактные ионные пары, а инденил- и аценафтениллитий дают, по-видимому, значительное количество ионных пар, разделенных растворителем, как это было найдено для 9-флуорениллита<sup>(7)</sup>.

В табл. 3 приведены также литературные данные для констант скорости присоединения соответствующего мономера к полистирилнатрию ( $k_{21}$ ), выбранному в качестве стандарта. Скорость реакции уменьшается в том же ряду, что и константа диссоциации образующегося при этом соединения. Отсюда следует, что относительная активность мономеров при анионной полимеризации в сольватирующих средах действительно определяется стабильностью образующегося из него аниона. Данные по сополимеризации в среде ТГФ<sup>(6, 8, 9)</sup> подтверждают этот вывод. Исключение составляет  $\alpha$ -метилстирол, анион которого, по данным электропроводности, стабильнее анионов диенов, но в сополимеризации этот мономер менее активен<sup>(9)</sup>, что связано, возможно, со стерическими факторами.

Институт нефтехимического синтеза  
им. А. В. Топчиева  
Академии наук ССР  
Москва

Поступило  
15 I 1971

#### ЦИТИРОВАННАЯ ЛИТЕРАТУРА

- <sup>1</sup> А. Х. Багдасарьян, Б. А. Долгоплоск, В. М. Фролов, ДАН, 185, 860 (1969). <sup>2</sup> А. Х. Багдасарьян, В. М. Фролов и др., ДАН, 162, 1293 (1965).
- <sup>3</sup> D. J. Worsfold, S. Bywater, J. Chem. Soc., 1960, 5234. <sup>4</sup> S. Bywater, D. J. Worsfold, Canad. J. Chem., 45, 1821 (1967). <sup>5</sup> M. Shima, J. Smid, M. Szwarc, J. Polym. Sci., 2B, 735 (1964). <sup>6</sup> D. N. Bhattacharyya, C. L. Lee et al., J. Am. Chem. Soc., 85, 533 (1963). <sup>7</sup> T. E. Hogen-Esch, J. Smid, J. Am. Chem. Soc., 88, 318 (1966). <sup>8</sup> Л. С. Бреслер, Б. А. Долгоплоск, Е. Н. Кропачева, ДАН, 145, 595 (1963). <sup>9</sup> Д. К. Поляков, А. Р. Гантмахер, С. С. Медведев, Высокомолек. соед., 9, 1390 (1967).